



ΑΡΙΣΤΟΤΕΛΕΙΟ ΠΑΝΕΠΙΣΤΗΜΙΟ ΘΕΣΣΑΛΟΝΙΚΗΣ

ΕΙΔΙΚΟΣ ΛΟΓΑΡΙΑΣΜΟΣ ΚΟΝΔΥΛΙΩΝ ΕΡΕΥΝΑΣ
Κτίριο ΚΕΔΕΑ, 3ης Σεπτεμβρίου,
Πανεπιστημιούπολη,
546 36 Θεσσαλονίκη
Πρόεδρος: Καθηγητής Θ. Λαόπουλος,
Αναπληρωτής Πρύτανης Έρευνας και
Συντονισμού
Τηλ. 2310 995140, Fax 2310 200392
Email: research@rc.auth.gr

ΔΙΑΠΙΣΤΕΥΜΕΝΟ ΕΡΓΑΣΤΗΡΙΟ
"Εργαστήριο Ελέγχου Ρύπανσης Περιβάλλοντος-
Ομάδα Μέτρησης Αιωρούμενων Σωματιδίων,
ΕΕΡΠ-ΟΜΑΣ",
Παλαιό Χημείο, Πανεπιστημιούπολη, 541 24
Θεσσαλονίκη
Διευθύντρια: Καθηγ. Κ. Σαμαρά-Κωνσταντίνου
Τηλ. 2310 997805, Fax 2310 997747
Email: csamara@chem.auth.gr

ΕΡΕΥΝΗΤΙΚΟ ΕΡΓΟ

**Παροχή υπηρεσιών μετρήσεων ατμοσφαιρικών
ρύπων στην περιοχή του Εμπορικού Λιμένα Βόλου**

ΤΕΛΙΚΗ ΕΚΘΕΣΗ



ΘΕΣΣΑΛΟΝΙΚΗ, Ιούνιος 2017

ΣΤΟΙΧΕΙΑ ΤΟΥ ΠΡΟΓΡΑΜΜΑΤΟΣ

Τίτλος Έργου	Παροχή υπηρεσιών μετρήσεων ατμοσφαιρικών ρύπων στην περιοχή του Εμπορικού Λιμένα Βόλου _2
Χρονική Διάρκεια	12 μήνες (02/06/2016 – 01/06/2017)
Φορέας Χρηματοδότησης	ΟΡΓΑΝΙΣΜΟΣ ΛΙΜΕΝΟΣ ΒΟΛΟΥ, Α.Ε.
Αριθμός Συμβολαίου	53298/31.05.2016
Ανάδοχος	Διαπιστευμένο Εργαστήριο "Εργαστήριο Ρύπανσης Περιβάλλοντος-Ομάδα Μέτρησης Αιωρούμενων Σωματιδίων, ΕΕΡΠ-ΟΜΑΣ", Τμήμα Χημείας, Α.Π.Θ.
Επιστημονικώς Υπεύθυνη	Κ. Σαμαρά-Κωνσταντίνου, Καθηγήτρια Τμ. Χημείας Α.Π.Θ.
Επιστημονικοί Συνεργάτες	Δ. Βουτσά, Καθηγήτρια Τμ. Χημείας Α.Π.Θ. Α. Κούρας, Διδάκτωρ Χημείας, Υπ. ΙΔΑΧ Τμ. Χημείας Α.Π.Θ. Ε. Μανώλη, Διδάκτωρ Χημείας, Υπ. ΙΔΑΧ Τμ. Χημείας Α.Π.Θ.

ΠΕΡΙΕΧΟΜΕΝΑ

1. Μεθοδολογία	3
1.1. Σταθμός μέτρησης ατμοσφαιρικής ρύπανσης	3
1.2. Δειγματοληψία και χημική ανάλυση των PM10	5
1.2.1. PAHs.....	5
1.2.2. Μέταλλα/μεταλλοειδή.....	6
2. Αποτελέσματα	7
2.1. On line μετρήσεις.....	7
2.2. Συσχέτιση με μετεωρολογικούς παράγοντες.....	11
2.3. Σταθμικές μετρήσεις /αναλύσεις PM10	14
2.2.1. PM10.....	14
2.2.2. PAHs.....	14
2.2.3. Μέταλλα/μεταλλοειδή.....	19
2.3. Συγκριτικά δεδομένα	23
Βιβλιογραφία	28

1. ΜΕΘΟΔΟΛΟΓΙΑ

1.1. Σταθμός μέτρησης ατμοσφαιρικής ρύπανσης

Ο σταθμός μέτρησης ατμοσφαιρικής ρύπανσης (ΣΜΑΡ) είναι εγκαταστημένος σε οικίσκο που διατέθηκε από την ΟΛΒ Α.Ε. και βρίσκεται στο δυτικό άκρο της περιοχής του λιμένα (Εικόνα 1). Ο εξοπλισμός του ΣΜΑΡ περιλαμβάνει online μέτρησης αερίων ρύπων (NO_x , O_3 , αρωματικών υδρογονανθράκων BTEX) και αιωρούμενων σωματιδίων PM10/PM2.5, μετεωρολογικό σταθμό, λογισμικό συλλογής και καταγραφής μετρήσεων, Η/Υ και δειγματολήπτη PM10 (Πίνακας 1, Εικόνα 2).



Εικόνα 1. Ο σταθμός μέτρησης ατμοσφαιρικής ρύπανσης (ΣΜΑΡ) του ΟΛΒ

Οι αναλυτές NO_x , O_3 , BTEX είναι τοποθετημένοι στο εσωτερικό του οικίσκου, σε κλιματιζόμενο χώρο. Ο αυτόματος μετρητής PM10/PM2.5 και ο δειγματολήπτης PM10 τοποθετήθηκαν σε ειδικά διαμορφωμένες εξωτερικές θέσεις, στο πλαϊνό και μπροστινό μέρος του οικίσκου. Τα ακροφύσια και οι κεφαλές όλων των συσκευών μέτρησης/δειγματοληψίας τοποθετήθηκαν σε κατάλληλο ύψος από το έδαφος ώστε να βρίσκονται μέσα στη ζώνη αναπνοής (1.5-3.5 m).



Εικόνα 2.

Δειγματολήπτης αιωρούμενων
σωματιδίων PM10 κατά ISO/IEC
EN-12341

Πίνακας 1. Εξοπλισμός του ΣΜΑΡ του ΟΛΒ

Εξοπλισμός	Τύπος
Αναλυτής NO _x	AC32M, ENVIRONMENT SA
Αναλυτής O ₃	O341M, ENVIRONMENT SA
Αναλυτής αρωματικών υδρογονανθράκων	VOC71M, ENVIRONMENT SA
BTEX	
Μετρητής PM10/PM2.5	DUSTTRAK™ DRX Aerosol Monitor, TSI
Μετεωρολογικός σταθμός με	LSI-LASTEM
<ul style="list-style-type: none"> – αισθητήριο ταχύτητας και διεύθυνσης ανέμου – αισθητήριο θερμοκρασίας και υγρασίας – αισθητήριο βαρομετρικής πίεσης 	
Λογισμικό συλλογής και καταγραφής μετρήσεων	ENVIDAS For Windows της Envitech LTD
Δειγματολήπτης PM10	LVS Ingenieur Derenda, Berlin με κεφαλή PM10 και παροχή 2.3 m ³ /h σε συμφωνία με το πρότυπο ISO/IEC EN-12341

Η βαθμονόμηση/συντήρηση των αυτόματων αναλυτών NO_X, O₃, BTEX γίνεται σε μηνιαία βάση από διαπιστευμένο Εργαστήριο Ι.Β. Καμπάς Ε.Π.Ε., Κέντρο Αναλυτικής Οργανολογίας & Εργαστηρίων Περιβαλλοντικών Μετρήσεων.

1.2. Δειγματοληψία και χημική ανάλυση των PM10

Η δειγματοληψία των PM10 γίνεται με συχνότητα 1 δείγμα/εβδομάδα σε προζυγισμένο φίλτρο quartz (Tissuquartz Pall, Φ 47 mm). Η διάρκεια των δειγματοληψιών είναι 24 ώρες. Τα φορτισμένα φίλτρα μεταφέρονται στο Εργαστήριο Ελέγχου Ρύπανσης Περιβάλλοντος για προσδιορισμό της συγκέντρωσης των PM10 και περαιτέρω χημική ανάλυση για τον προσδιορισμό των καρκινογόνων συστατικών B[α]P, As, Cd, Ni σύμφωνα με τις απαιτήσεις της Οδηγίας 2004/107/EK. Η δειγματοληψία, χειρισμός και ζύγιση των φίλτρων γίνονται σύμφωνα με το πρότυπο ISO/IEC EN-12341.

Μετά την τελική ζύγιση, τα φίλτρα κόβονται ακριβώς στη μέση και το ένα μισό χρησιμοποιείται για τον προσδιορισμό του B[α]P και άλλων PAHs, ενώ το άλλο μισό για τον προσδιορισμό Ni, Cd, As και άλλων βαρέων μετάλλων.

1.2.1. PAHs

Η εκχύλιση των PAHs από τα φίλτρα πραγματοποιείται σε συσκευή μικροκυμάτων () με μίγμα dichloromethane:n-hexane (3:2 v/v). Μετά τη συμπύκνωση των εκχυλισμάτων αρχικά σε περιστροφικό εξατμιστήρα κενού και στη συνέχεια με ήπιο ρεύμα N₂, έγινε επαναδιάλυση του υπολείματος σε 1 mL acetonitrile. Οι PAHs προσδιορίζονται με την τεχνική της υγρής χρωματογραφίας υψηλής πίεσης με προγραμματιζόμενο φθορισμομετρικό ανιχνευτή (HPLC/FLD) σύμφωνα με βελτιστοποιημένες διαδικασίες (Manoli et al., 2002; Manoli et al., 2004). Η βαθμονόμηση γίνεται με το πρότυπο NIST Standard Reference Material 1647c που περιέχει 16 PAHs: Naphthalene (Np), Acenaphthylene (Acn), Acenaphthene (Ace), Fluorene (F), Phenanthrene (Ph), Anthracene (An), Fluoranthene (Fl), Pyrene (Py), Benzo[a]anthracene (B[a]An), Chrysene (Chry), Benzo[b]fluoranthene (B[b]Fl), Benzo[k]fluoranthene (B[k]Fl), Benzo[a]pyrene (B[α]Py), diBenzo[a,h]anthracene (dB[α,h]An), Benzo[g,h,i]perylene (B[ghi]Pe), Indenol[1,2,3-c,d]pyrene (I[1,2,3-cd]Py) και με το Benzo[e]pyrene (B[e]Py) που συχνά χρησιμοποιείται ως ένωση αναφοράς. Το Acenaphthylene έχει πολύ ασθενή φθορισμό και για αυτό δεν μπορεί να ανιχνευθεί.

Ο έλεγχος ποιότητας περιλαμβάνει ανάλυση λευκών φίλτρων και αντιδραστηρίων, καθώς και επιφορτισμένων δειγμάτων (spike). Η ανάκτηση των χαμηλού MB PAHs (Np, Ace και F) βρέθηκε σχετικά χαμηλή και με μεγάλες διακυμάνσεις (48–71%) λόγω της μεγάλης πτητικότητας αυτών των ενώσεων. Η ανάκτηση των υπόλοιπων PAHs ήταν σχεδόν ποσοτική (87–108%) και η επαναληψιμότητα της μέτρησής τους (εκφραζόμενη ως σχετική τυπική απόκλιση του ύψους κορυφής) καλύτερη από 10%. Τα όρια ανίχνευσης (LOD) των διαφόρων PAHs κυμάνθηκαν μεταξύ 0.001 και 0.077 ng/m³. Για τη στατιστική επεξεργασία των μετρήσεων, οι συγκεντρώσεις κάτω από το όριο ανίχνευσης θεωρήθηκαν ίσες με το μισό της τιμής του ορίου.

1.2.2. Μέταλλα / μεταλλοειδή

Ο προσδιορισμός των μετάλλων/μεταλλοειδών στα δείγματα των PM10 πραγματοποιείται με την τεχνική ICP-MS μετά από πέψη των φίλτρων με οξειδωτικό μίγμα οξέων (HCl/HNO_3). Ο έλεγχος ποιότητας περιλαμβάνει ανάλυση λευκών φίλτρων και αντιδραστηρίων, καθώς και επιφορτισμένων δειγμάτων (spike). Το όριο ποσοτικοποίησης (LOQ) για Pb, As, Ni, Mn, Fe, Zn και Cr είναι 0,025 $\mu\text{g}/\text{δείγμα}$, ενώ για το Cd είναι 0,0025 $\mu\text{g}/\text{δείγμα}$.

2. ΑΠΟΤΕΛΕΣΜΑΤΑ

2.1. On-line μετρήσεις

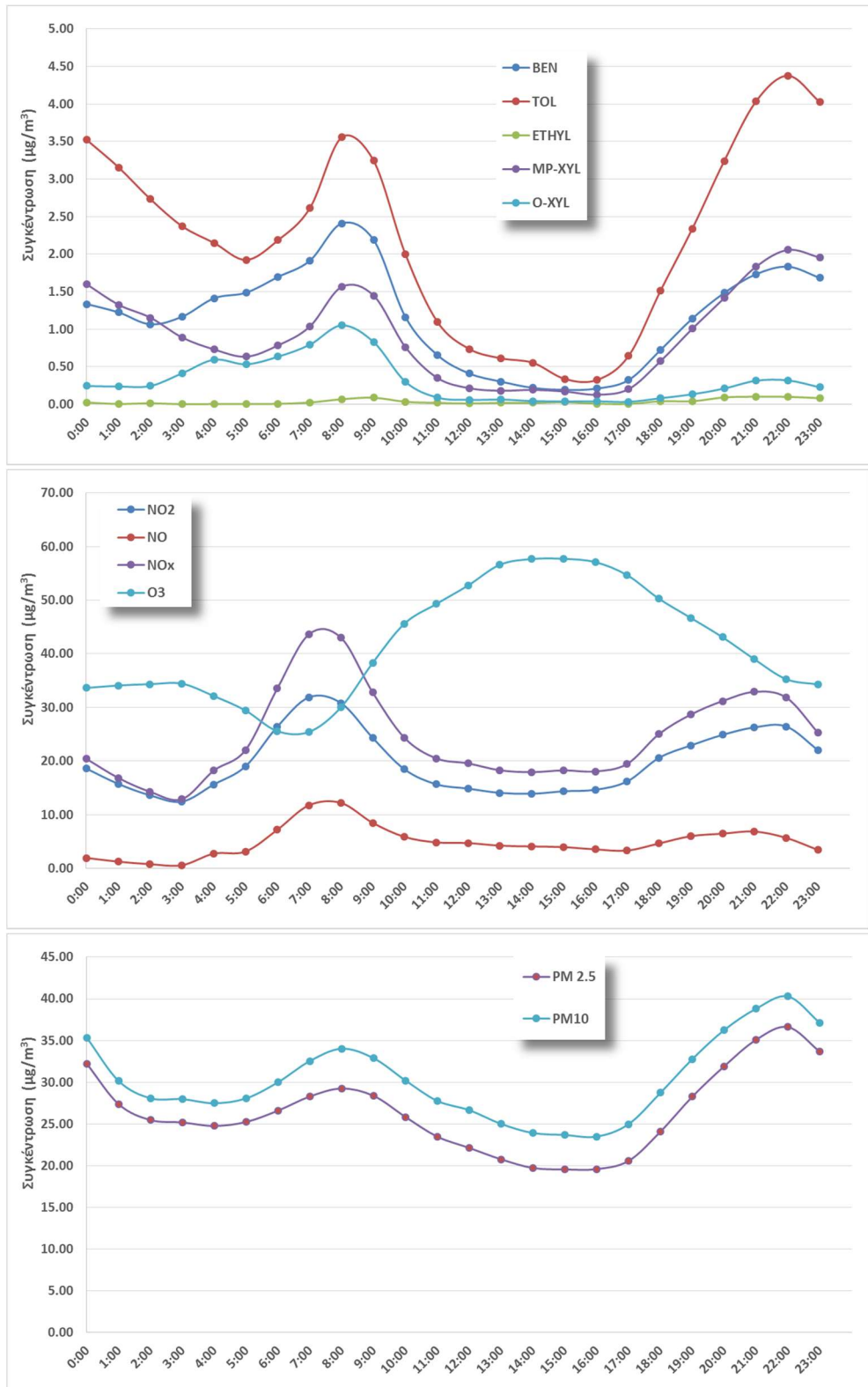
Οι μέσες διακυμάνσεις (ημερήσια, εβδομαδιαία και μηνιαία) των συγκεντρώσεων BTEX, NOx, O₃, PM₁₀ και PM_{2.5} κατά το χρονικό διάστημα 02/06/2016 – 01/06/2017 δίνονται στα Σχήματα 2.1.1, 2.1.2 και 2.1.3, αντίστοιχα.

Όπως προκύπτει, οι πρωτογενείς ρύποι εμφανίζουν δύο μέγιστα στη διάρκεια του 24ώρου, ένα πρωινό (7:00-8:00) και ένα βραδυνό (~22:00), τα οποία σχετίζονται με την ημερήσια διακύμανση των πηγών εκπομπής (κυκλοφορία, οικιακή θέρμανση), αλλά και των μετεωρολογικών συνθηκών (ύψος ανάμιξης, ταχύτητα ανέμου). Η ημερήσια διακύμανση του δευτερογενούς O₃ είναι αντίθετη με μέγιστο μεταξύ 13:00-16:00.

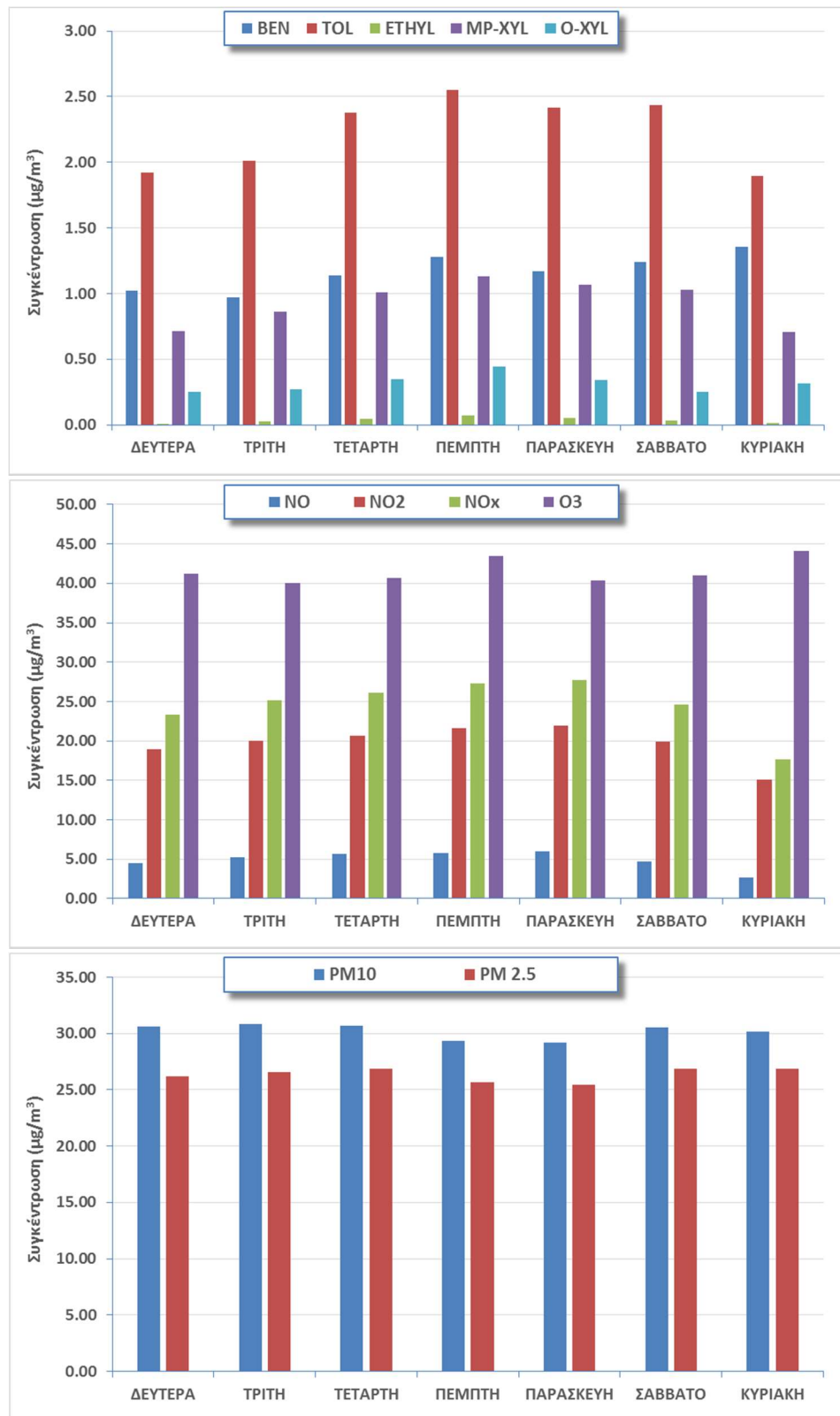
Η συνδιακύμανση που παρατηρείται μεταξύ πολλών ρύπων υποδηλώνει ότι αυτοί εκπέμπονται από τις ίδιες ανθρωπογενείς πηγές, εκτίθενται στα ίδια φαινόμενα αραίωσης μετά την εκπομπή τους στον ατμοσφαιρικό αέρα, ή ακόμη ότι υπόκεινται στους ίδιους μηχανισμούς αποδόμησης π.χ. μέσω χημικών αντιδράσεων ή φωτόλυσης.

Η εβδομαδιαία και μηνιαία διακύμανση των συγκεντρώσεων των δίνονται στα Σχήματα 2.1.2 και 2.1.3, αντίστοιχα. Δεν φαίνεται να υπάρχει σημαντική διαφοροποίηση μεταξύ των ημερών αν και ορισμένοι ρύποι (NOx, TOL, MP-XYL) εμφανίζουν σχετικά χαμηλότερα επίπεδα συγκεντρώσεων κατά την Κυριακή. Μεγαλύτερη είναι η μηνιαία διακύμανση με υψηλότερες γενικά συγκεντρώσεις κατά τους χειμερινούς μήνες σε σύγκριση με τους θερινούς για όλους τους πρωτογενείς ρύπους. Αντίθετα, το O₃ παρουσιάζει υψηλότερες συγκεντρώσεις κατά τους θερμούς μήνες. Οι υψηλότερες τιμές της χειμερινής περιόδου οφείλονται τόσο στις εκπομπές από εποχικές πηγές (οικιακή θέρμανση, αυξημένες εκπομπές από την κυκλοφορία ή/και τη βιομηχανία), όσο και στις επικρατούσες μετεωρολογικές συνθήκες (χαμηλότερο ύψος ανάμιξης, πιο συχνές άπνοιες και θερμοκρασιακές αναστροφές) που δεν ευνοούν τη διασπορά.

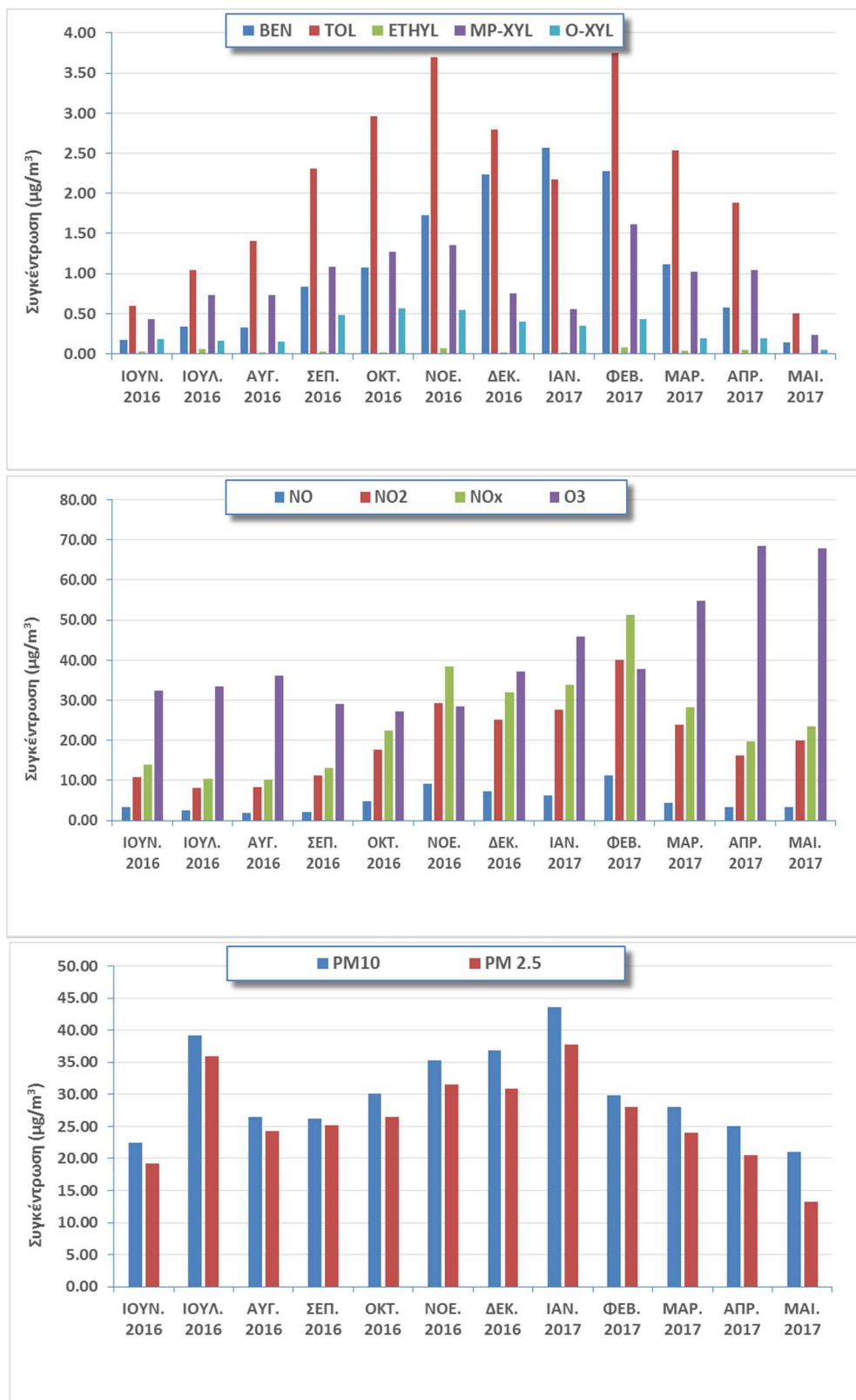
Σε σύγκριση με τα όρια της Οδηγίας 2008/50/EK «**για την ποιότητα του ατμοσφαιρικού αέρα και καθαρότερο αέρα για την Ευρώπη**», η μέση ωριαία τιμή του NO₂ για το χρονικό διάστημα των μετρήσεων ήταν 25 µg/m³, κατά πολύ μικρότερη από το ετήσιο όριο (40 µg/m³), ενώ δεν παρατηρήθηκε καμία υπέρβαση του ωριαίου ορίου των 200 µg/m³. Αντίστοιχα, η μέση τιμή του βενζολίου ήταν 1.3 µg/m³, επίσης κατά πολύ μικρότερη του ετήσιου ορίου (5 µg/m³). Η μέση ετήσια τιμή των ημερήσιων συγκεντρώσεων του σωματιδιακού κλάσματος PM10 ήταν 30 µg/m³, μικρότερη του αντίστοιχου ετήσιου ορίου (40 µg/m³), ενώ ο αριθμός των υπερβάσεων του ημερήσιου ορίου για τα PM10 (50 µg/m³) ήταν 28, εντός του ανώτατου επιτρεπτού αριθμού των 35 υπερβάσεων/έτος. Η μέγιστη ημερήσια τιμή PM10 που καταγράφηκε ήταν 70 µg/m³. Τέλος, η μέση ετήσια τιμή των ημερήσιων συγκεντρώσεων του σωματιδιακού κλάσματος PM2.5 ήταν 26 µg/m³, πολύ κοντά στο ετήσιο όριο (25 µg/m³).



Σχήμα 2.1.1. Μέση ημερήσια διακύμανση των συγκεντρώσεων BTEX, NOx, O_3 , PM_{10} και $PM_{2.5}$ κατά το χρονικό διάστημα 02/06/2016 – 01/06/2017



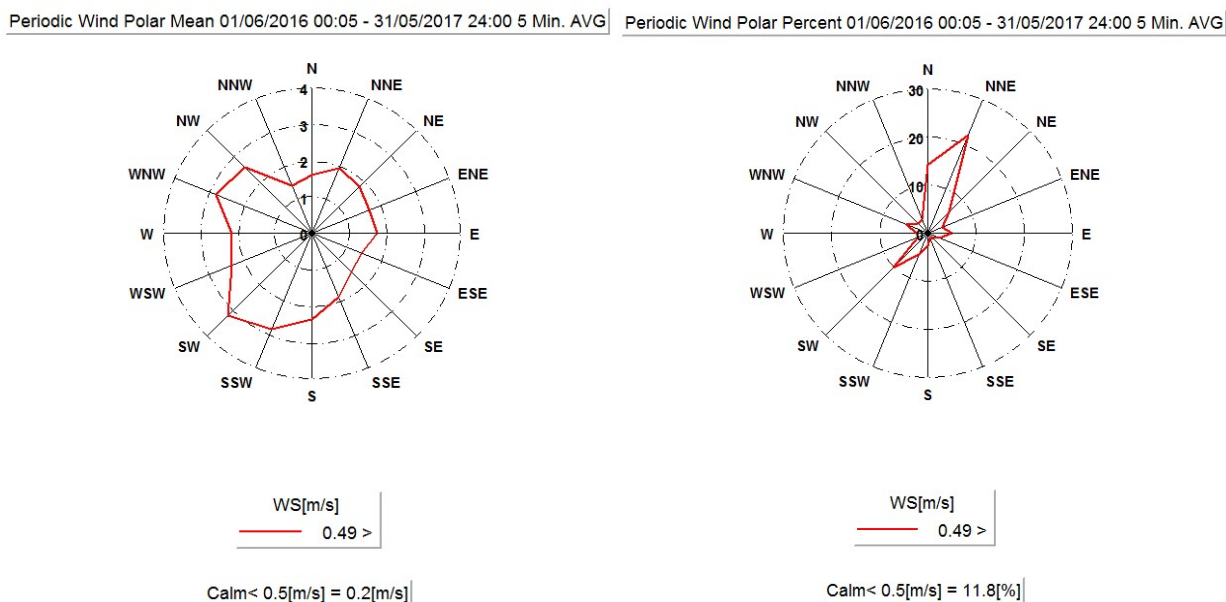
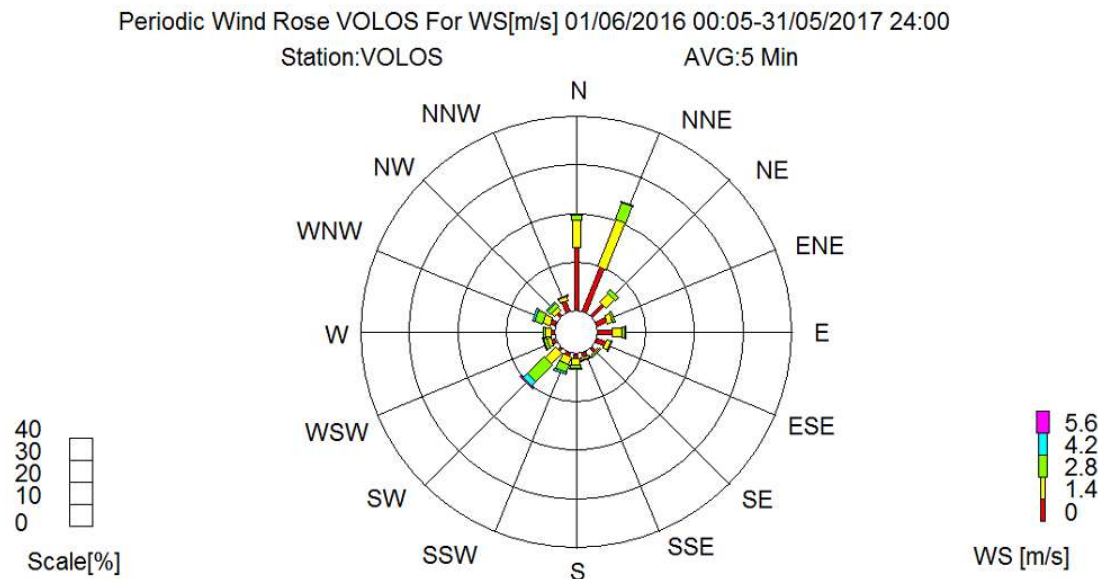
Σχήμα 2.1.2. Μέση εβδομαδιαία διακύμανση των συγκεντρώσεων BTEX, NOx, O₃, PM₁₀ και PM_{2.5} κατά το χρονικό διάστημα 02/06/2016 – 01/06/2017



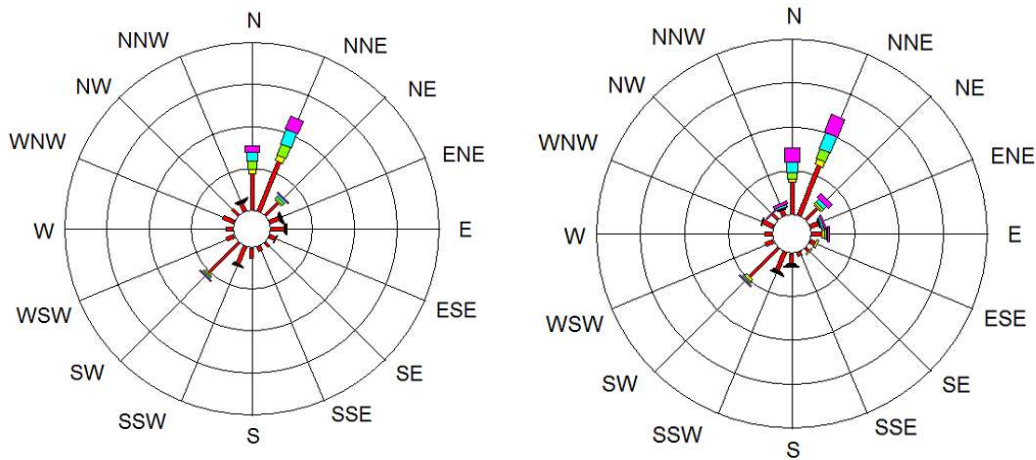
Σχήμα 2.1.3. Μέση μηνιαία διακύμανση των συγκεντρώσεων BTEX, NOx, O₃, PM₁₀ και PM_{2.5} κατά το χρονικό διάστημα 02/06/2016 – 01/06/2017

2.2. Συσχέτιση με μετεωρολογικούς παράγοντες

Η συχνότητα εμφάνισης και η ταχύτητα των επικρατούντων ανέμων κατά τη διάρκεια της περιόδου των μετρήσεων δίνεται στα ροδογράμματα του Σχήματος 2.1.4. Τα αντίστοιχα ροδογράμματα των συγκεντρώσεων των αέριων ρύπων δίνονται στα Σχήματα 2.1.5α και 2.1.5β.

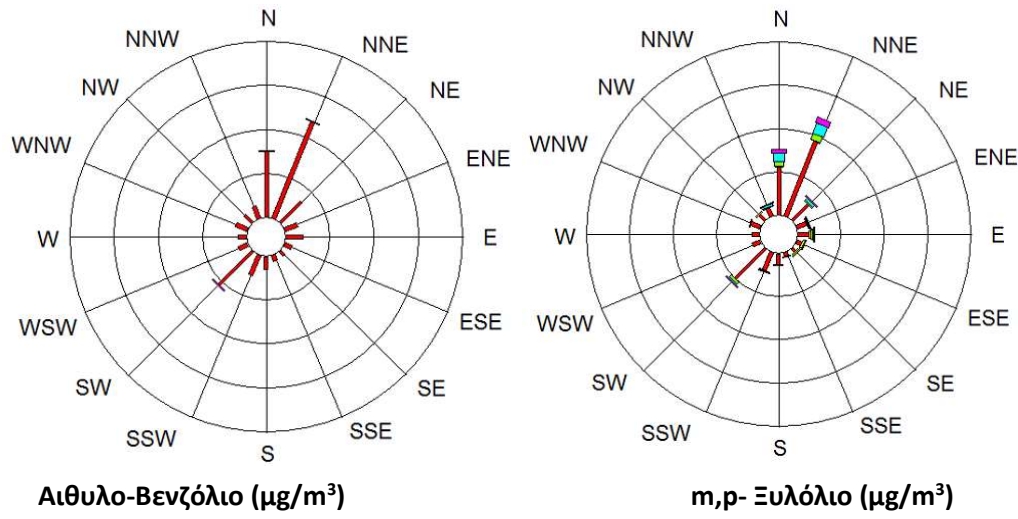


Σχήμα 2.1.4. Επάνω: Ροδόγραμμα επικρατούντων ανέμων κατά την περίοδο των μετρήσεων
 Κάτω: Μέση ταχύτητα ανέμου ανά διεύθυνση προέλευσης



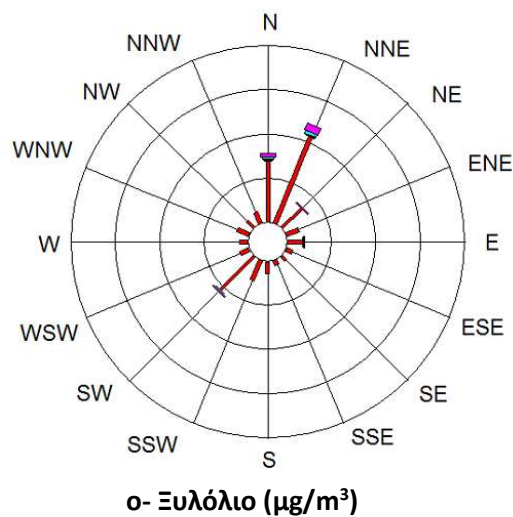
Βενζόλιο ($\mu\text{g}/\text{m}^3$)

Τολουόλιο ($\mu\text{g}/\text{m}^3$)



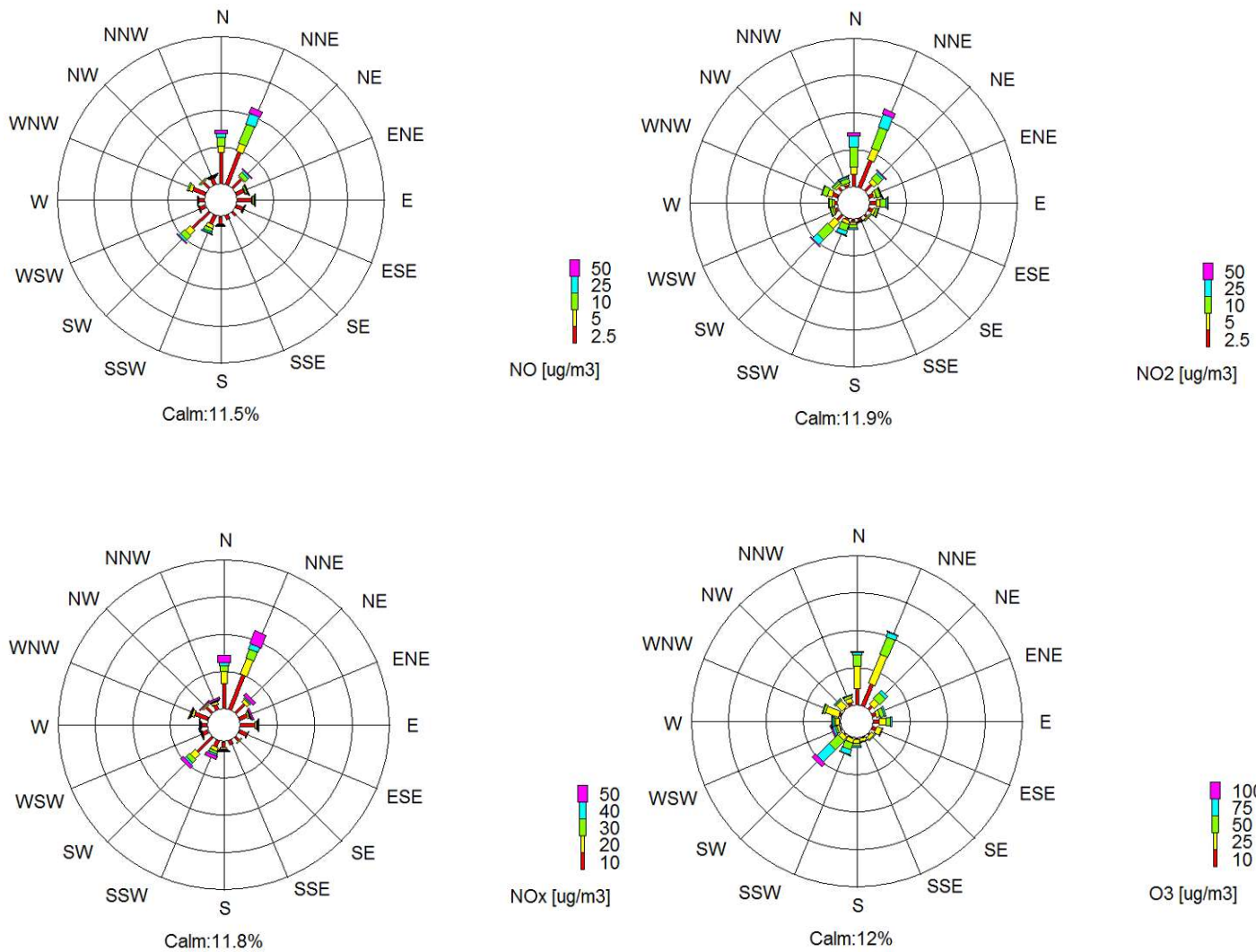
Αιθυλο-Βενζόλιο ($\mu\text{g}/\text{m}^3$)

m,p-Ξυλόλιο ($\mu\text{g}/\text{m}^3$)



o-Ξυλόλιο ($\mu\text{g}/\text{m}^3$)

Σχήμα 2.1.5α. Ροδογράμματα των συγκεντρώσεων των αρωματικών υδρογονανθράκων BTEX
(5minAverage, scale 5% (0-40%), calm11.56%)

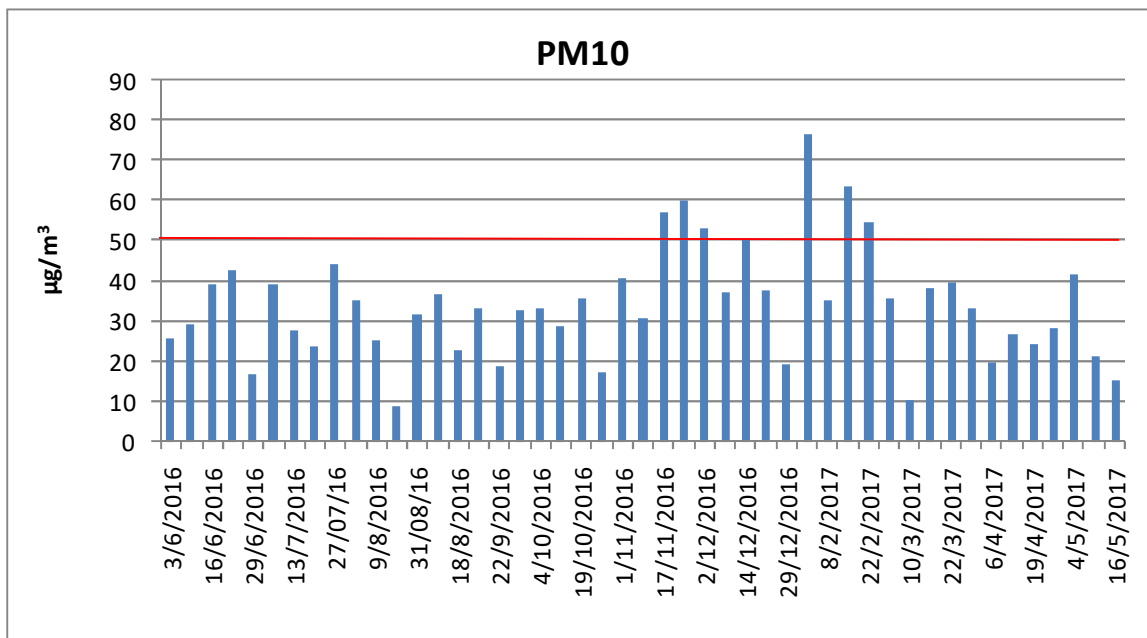


Σχήμα 2.1.56. Ροδογράμματα των συγκεντρώσεων NO , NO_2 , NOx και O_3
(5minAverage, scale10% (0-40%))

2.2. Σταθμικές μετρήσεις/αναλύσεις PM10

2.2.1. PM10

Οι συγκεντρώσεις των PM10 που συλλέχθηκαν σε φίλτρο για χημική ανάλυση και προσδιορίσθηκαν σταθμικά κυμάνθηκαν μεταξύ 8,8 και 76 $\mu\text{g}/\text{m}^3$ (Σχήμα 2.2.1) υπερβαίνοντας το ημερήσιο όριο της Οδηγίας 2008/50/EK ($50 \mu\text{g}/\text{m}^3$) σε έξη ημέρες.



Σχήμα 2.2.1. Ημερήσιες σταθμικές συγκεντρώσεις PM10 κατά το χρονικό διάστημα
02/06/2016 – 01/06/2017

2.2.2. PAHs

Οι συγκεντρώσεις των PAHs που ανιχνεύθηκαν στα δείγματα PM10 της παραπάνω περιόδου δίνονται στον Πίνακα 2.2.1. Όπως φαίνεται, οι συγκεντρώσεις του B[α]Py κυμάνθηκαν από 0,01 μέχρι 3,05 ng/m^3 (14/12/2016) με μέση ετήσια τιμή 0,54 ng/m^3 .

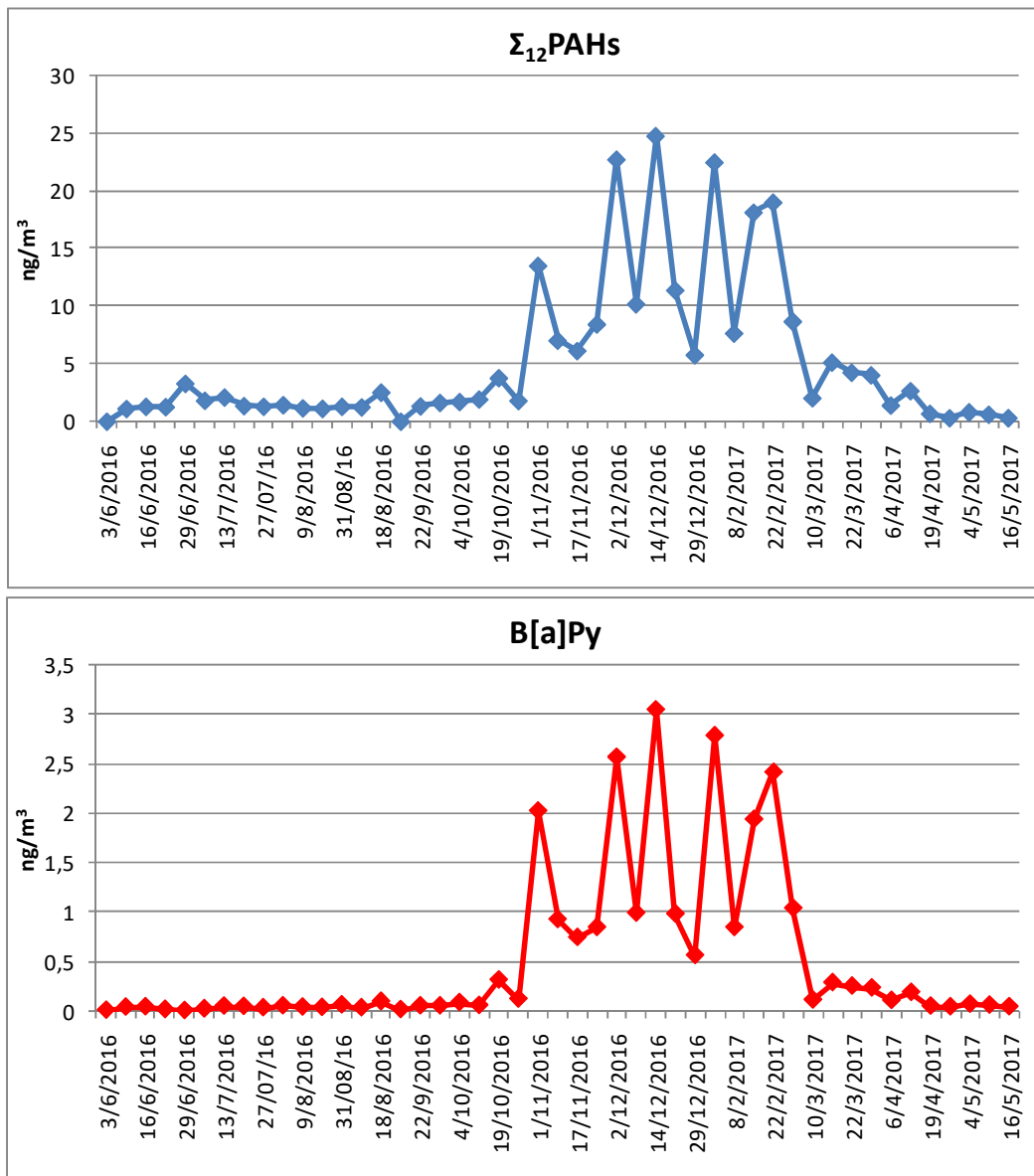
Πίνακας 2.2.1. Συγκεντρώσεις PAHs (ng/m³)

Ημερομηνία	Ph	An	Fl	Py	B[a]An	Chry	B[b]Fl	B[k]Fl	B[a]Py	dB[a,h]An	B[ghi]Pe	IPy
3/6/2016	0,18	0,01	0,11	0,15	0,04	0,07	0,04	0,01	0,01	0,00	0,05	ND
10/6/2016	0,21	0,01	0,10	0,14	0,05	0,06	0,12	0,04	0,04	0,01	0,20	0,11
16/6/2016	0,27	0,02	0,12	0,18	0,06	0,12	0,14	0,04	0,04	0,03	0,17	0,10
23/6/2016	0,39	0,02	0,17	0,23	0,06	0,06	0,08	0,02	0,02	0,02	0,11	0,08
29/6/2016	0,48	0,03	0,42	0,97	0,17	0,21	0,25	0,08	0,01	0,04	0,45	0,17
4/7/2016	0,46	0,02	0,19	0,43	0,10	0,11	0,11	0,03	0,02	0,01	0,24	0,08
13/7/2016	0,35	0,02	0,12	0,36	0,06	0,09	0,19	0,08	0,05	0,04	0,54	0,21
21/07/16	0,44	0,03	0,16	0,16	0,05	0,10	0,11	0,04	0,05	0,02	0,12	0,09
27/07/16	0,38	0,02	0,12	0,18	0,04	0,08	0,11	0,04	0,03	0,02	0,13	0,13
4/8/2016	0,42	0,04	0,14	0,21	0,03	0,07	0,12	0,04	0,05	0,03	0,18	0,11
9/8/2016	0,35	0,03	0,12	0,23	0,04	0,06	0,07	0,03	0,04	0,02	0,11	0,06
16/8/2016	0,35	0,02	0,15	0,20	0,04	0,05	0,07	0,03	0,04	0,02	0,10	0,06
31/08/16	0,19	0,02	0,12	0,23	0,07	0,09	0,10	0,04	0,06	0,02	0,24	0,11
10/9/2016	0,27	0,02	0,16	0,25	0,08	0,08	0,10	0,03	0,03	0,02	0,10	0,11
18/8/2016	0,43	0,05	0,20	0,31	0,35	0,14	0,28	0,11	0,10	0,06	0,25	0,25
17/9/2016	0,25	0,02	0,15	0,27	0,05	0,04	0,05	0,02	0,02	0,01	0,09	ND
22/9/2016	0,30	0,02	0,15	0,28	0,06	0,06	0,10	0,04	0,05	0,02	0,12	0,12
28/9/2016	0,32	0,02	0,18	0,29	0,08	0,10	0,14	0,05	0,05	0,03	0,21	0,15
4/10/2016	0,26	0,03	0,17	0,29	0,12	0,11	0,15	0,06	0,09	0,04	0,24	0,16
14/10/2016	0,36	0,02	0,20	0,27	0,08	0,15	0,17	0,07	0,06	0,04	0,29	0,21
19/10/2016	0,54	0,08	0,31	0,21	0,18	0,17	0,50	0,24	0,32	0,10	0,60	0,53
27/10/2016	0,13	0,06	0,10	0,16	0,13	0,09	0,27	0,11	0,12	0,05	0,28	0,29
1/11/2016	0,49	0,28	0,55	0,66	1,23	1,41	1,83	0,78	2,03	0,33	2,18	1,76

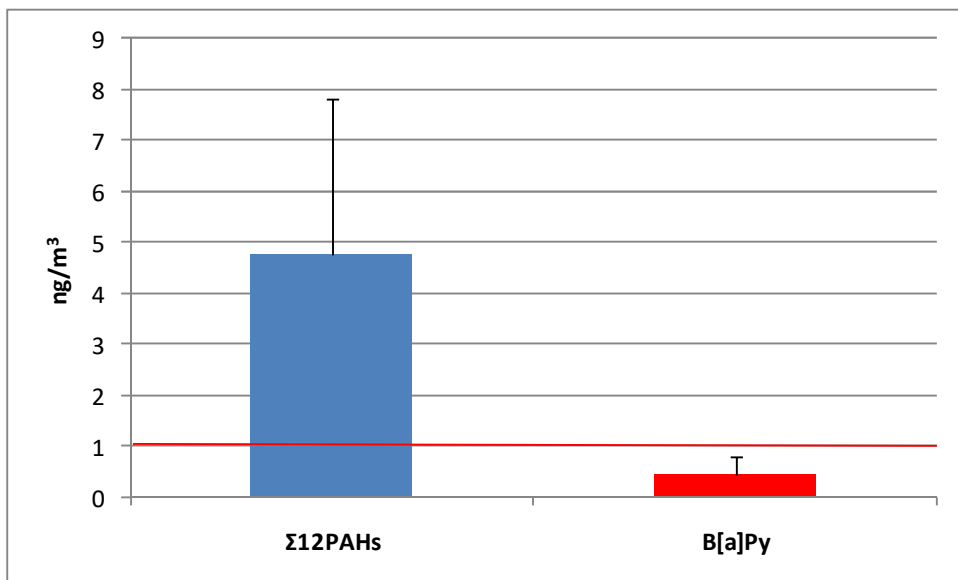
Ημερομηνία	Ph	An	Fl	Py	B[a]An	Chry	B[b]Fl	B[k]Fl	B[a]Py	dB[a,h]An	B[ghi]Pe	IPy
11/11/2016	0,20	0,20	0,25	0,31	0,33	0,44	1,08	0,45	0,93	0,27	1,49	1,08
17/11/2016	0,10	0,11	0,27	0,16	0,41	0,79	1,03	0,51	0,75	0,19	0,85	0,98
25/11/2016	0,12	0,16	0,28	0,31	0,41	0,85	1,68	0,74	0,85	0,35	1,22	1,47
2/12/2016	0,36	0,46	0,84	0,61	1,57	2,95	4,01	1,62	2,57	0,82	3,43	3,52
8/2/2016	0,12	0,06	0,35	0,41	0,61	1,39	1,80	0,80	0,99	0,33	1,60	1,72
14/12/2016	0,22	0,09	1,40	0,89	3,27	3,72	3,95	1,57	3,05	0,85	2,82	2,96
22/12/2016	0,10	0,05	0,82	0,51	0,97	1,81	1,84	0,80	0,98	0,34	1,67	1,52
29/12/2016	0,10	0,03	0,48	0,34	0,39	0,75	0,93	0,39	0,56	0,15	0,90	0,77
2/2/2017	0,60	0,53	1,42	0,66	2,32	3,12	3,18	1,49	2,79	0,77	2,33	3,30
8/2/2017	0,17	0,23	0,59	0,13	0,50	0,76	1,30	0,60	0,85	0,28	1,03	1,23
16/2/2017	0,33	0,40	1,51	0,62	1,46	2,58	2,91	1,25	1,94	0,51	2,08	2,54
22/2/2017	0,48	0,52	0,88	0,36	1,82	2,54	2,89	1,41	2,42	0,63	2,15	2,92
2/3/2017	0,20	0,25	0,47	0,16	0,63	1,04	1,39	0,67	1,04	0,30	1,28	1,26
10/3/2017	0,04	0,07	0,12	0,08	0,06	0,12	0,44	0,18	0,11	0,07	0,38	0,38
16/3/2017	0,17	0,12	0,40	0,23	0,15	0,40	0,95	0,36	0,29	0,17	1,22	0,67
22/3/2017	0,07	0,10	0,30	0,12	0,15	0,35	0,83	0,35	0,25	0,14	0,82	0,78
29/3/2017	0,08	0,11	0,41	0,18	0,13	0,29	0,72	0,33	0,24	0,14	0,77	0,64
6/4/2017	0,04	0,03	0,12	0,07	0,04	0,08	0,23	0,10	0,11	0,06	0,29	0,24
11/4/2017	0,07	0,05	0,21	0,13	0,09	0,18	0,44	0,20	0,19	0,09	0,54	0,47
19/4/2017	0,05	0,01	0,03	0,04	0,01	0,05	0,12	0,06	0,05	0,02	0,13	0,12
29/4/2017	0,03	0,00	0,02	0,04	0,01	0,02	0,05	0,03	0,04	0,01	0,05	ND
4/5/2017	0,07	0,01	0,11	0,09	0,02	0,07	0,11	0,06	0,07	0,02	0,11	0,08
11/5/2017	0,05	0,00	0,02	0,05	0,02	0,04	0,09	0,05	0,06	0,02	0,12	0,09
16/5/2017	0,04	0,00	0,01	0,04	0,01	0,02	0,04	0,03	0,05	ND	0,06	ND

Ημερομηνία	Ph	An	Fl	Py	B[a]An	Chry	B[b]Fl	B[k]Fl	B[a]Py	dB[a,h]An	B[ghi]Pe	IPy
MEAN	0,25	0,10	0,33	0,28	0,39	0,59	0,79	0,34	0,52	0,16	0,73	0,78
STDEV	0,16	0,14	0,36	0,21	0,68	0,94	1,06	0,46	0,82	0,23	0,83	0,97
MIN	0,03	0,00	0,01	0,04	0,01	0,02	0,04	0,01	0,01	0,00	0,05	0,06
MAX	0,60	0,53	1,51	0,97	3,27	3,72	4,01	1,62	3,05	0,85	3,43	3,52

Όπως φαίνεται στο Σχήμα 2.2.2, κατά τη θερινή περίοδο, οι συγκεντρώσεις όλων των PAHs είναι πολύ χαμηλές εξαιτίας ενός συνδυασμού παραγόντων, όπως: (α) οι χαμηλότερες εκπομπές από πηγές καύσης, (β) η δραστικότητα πολλών PAHs, οι οποίοι διασπώνται από το ηλιακό φως ή αντιδρούν με το έζον, (γ) οι μετεωρολογικές συνθήκες της θερινής περιόδου που ευνοούν τη διασπορά των σωματιδίων (μεγαλύτερο ύψος ανάμιξης, σπανιότερες θερμοκρασιακές αναστροφές).



Η μέση ετήσια συγκέντρωση του B[a]Py ($0,54 \text{ ng}/\text{m}^3$, Σχήμα 2.2.3) είναι χαμηλότερη της τιμής-στόχου της Οδηγίας 2004/107/EK ($1 \text{ ng}/\text{m}^3$ ως μέση ετήσια τιμή). Επίσης, είναι συγκριτικά μικρότερη από αυτή που βρέθηκε στο λιμάνι της Θεσσαλονίκης ($0,73 \text{ ng}/\text{m}^3$, Tolis et al., 2014) και πολύ κοντά στις συγκεντρώσεις που μετρήθηκαν στο κέντρο της Θεσσαλονίκης ($0,55 \text{ ng}/\text{m}^3$ Manoli et al., 2015).



Σχήμα 2.2.3. Μέση τιμή και τυπική απόκλιση της συνολικής συγκέντρωσης Σ12PAHs και του B[a]Py κατά το χρονικό διάστημα 02/06/2016 – 01/06/2017

2.2.3. Μέταλλα/ μεταλλοειδή

Οι συγκεντρώσεις των μετάλλων/ μεταλλοειδών που προσδιορίσθηκαν στα δείγματα PM10 δίνονται στον Πίνακα 2.2.2. Οι συγκεντρώσεις ακολουθούν τη σειρά: Fe>Zn>Mn=Pb>Ni>As>Cd (Σχήμα 2.2.3). Οι μέσες ετήσιες συγκεντρώσεις των νομοθετημένων μετάλλων είναι κάτω από τις τιμές-στόχους της Οδηγίας 2004/107/EK (6, 5, 20 και $500 \text{ ng}/\text{m}^3$ για As, Cd, Ni, Pb, ως μέση ετήσια τιμή).

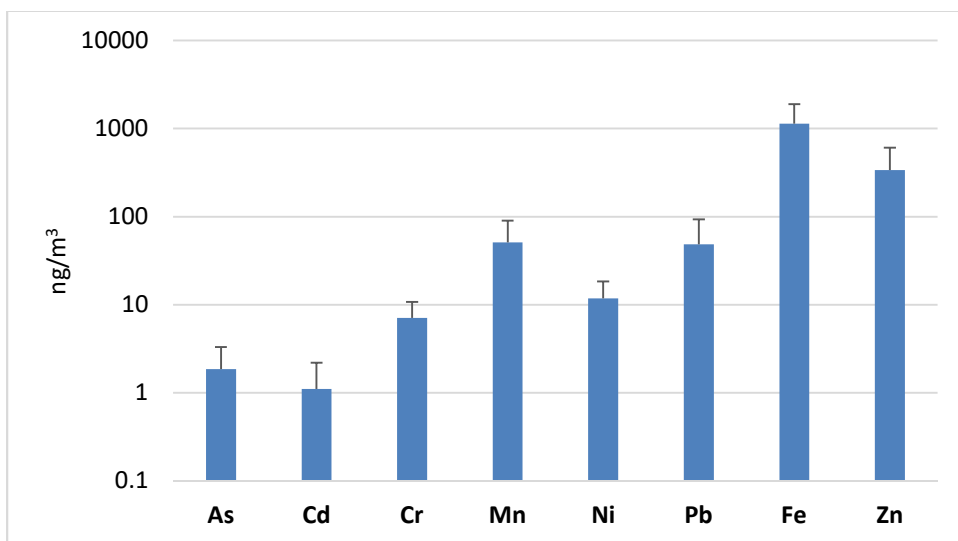
Πίνακας 2.2.2. Συγκεντρώσεις μετάλλων/μεταλλοειδών στα PM10 (ng/m^3)

Ημερομηνία	As	Cd	Ni	Cr	Mn	Pb	Fe	Zn
3/6/2016	0,45	0,14	5,13	2,26	13,2	7,74	745	131
10/6/2016	1,42	0,45	5,75	6,26	24,6	30,8	998	391
16/6/2016	0,45	0,14	7,34	5,13	71,6	18,4	857	103
23/6/2016	0,45	0,14	15,6	5,89	19,2	11,0	1038	91,5

29/6/2016	0,45	0,14	6,15	2,26	18,4	5,50	542	152
4/7/2016	1,24	0,45	10,6	5,39	19,6	12,8	976	110
13/7/2016	0,45	0,14	15,3	2,26	11,2	5,75	575	124
21/07/16	0,45	0,45	32,8	6,14	19,0	24,5	690	387
27/07/16	1,71	2,71	23,5	18,43	43,4	44,1	3025	390
4/8/2016	1,12	0,45	17,2	5,82	27,9	21,7	799	341
9/8/2016	0,45	0,45	13,2	4,81	24,5	14,6	593	182
16/8/2016	4,41	0,14	9,36	2,26	7,30	2,84	316	69,7
31/08/16	1,15	0,45	13,2	6,03	22,2	51,3	824	185
10/9/2016	0,45	0,45	26,5	4,89	21,0	14,9	676	134
18/8/2016	0,47	0,15	5,58	2,34	8,49	3,61	378	71,5
17/9/2016	0,45	0,45	8,17	5,68	20,9	16,5	879	155
22/9/2016	0,45	0,14	10,6	2,26	19,0	13,2	301	113
28/9/2016	2,05	0,50	15,7	7,84	42,0	39,1	2609	332
4/10/2016	0,92	0,45	24,0	7,09	32,0	23,5	1146	539
14/10/2016	1,40	0,45	25,8	9,54	28,6	32,3	860	383
19/10/2016	1,64	0,45	8,03	6,29	23,9	36,2	1309	224
27/10/2016	0,45	0,14	5,57	2,26	6,80	6,18	365	74,5
1/11/2016	1,78	0,45	8,35	8,86	75,6	33,5	1884	191
11/11/2016	1,58	0,14	5,57	5,57	16,9	14,2	904	77,7
17/11/2016	1.36	1.33	9.80	12.91	57.1	71.1	1128	293
25/11/2016	3.50	3.28	6.44	11.75	48.1	38.3	691	430
2/12/2016	4.91	0.93	4.88	4.63	97.0	48.9	568	733
8/12/2016	2.02	0.32	8.35	4.48	90.8	24.2	1146	140
14/12/2016	0.39	2.00	4.77	12.1	108	86.6	2072	696
22/12/2016	3.50	1.69	16.2	9.47	20.4	88.7	372	237
29/12/2016	1.52	1.08	14.1	11.0	144	88.3	1276	107
2/2/2017	3.09	2.29	6.62	4.88	53.7	15.0	463	136
8/2/2017	3.34	3.35	12.9	10.8	48.1	110	1985	899
16/2/2017	3.98	0.95	12.9	12.0	92.4	136	405	737
22/2/2017	3.33	3.39	11.5	5.75	130	64.5	2994	927
2/3/2017	3.38	2.89	13.3	7.88	107	119	1385	686
10/3/2017	3.26	2.71	15.7	8.86	70.0	155	1312	657
16/3/2017	2.45	0.27	9.40	5.31	41.5	56	810	940
22/3/2017	4.34	1.97	9.98	12.4	86.4	162	2383	287
29/3/2017	1.17	1.59	7.92	3.83	44.9	127	343	682
6/4/2017	2.22	2.22	5.03	11.8	135	30.0	2477	242
11/4/2017	5.86	1.85	4.84	10.1	105	55.4	1725	722

19/4/2017	0.91	3.34	14.6	8.65	94.3	130	2251	64.4
29/4/2017	-	-	-	-	-	-	-	-
4/5/2017	-	-	-	-	-	-	-	-
11/5/2017	-	-	-	-	-	-	-	-
16/5/2017	-	-	-	-	-	-	-	-
MEAN	1.87	1.11	7.08	51.0	11.8	48.6	1141	339
STDEV	1.46	1.09	3.68	38.9	6.64	44.9	754	268
MIN	0.39	0.14	2.26	6.80	4.77	2.84	301	64.4
MAX	5.86	3.39	18.4	144	32.8	162	3025	940

- Απώλεια δείγματος κατά την διαλυτοποίηση του φίλτρου



Σχήμα 2.2.3. Μέση τιμή και τυπική απόκλιση της συγκέντρωσης μετάλλων/μεταλλοειδών κατά το χρονικό διάστημα 02/06/2016 – 01/06/2017

2.3. Συγκριτικά δεδομένα

Στους Πίνακες 2.3.1-2.3.4 δίνονται συγκριτικά δεδομένα από τη βιβλιογραφία για τις συγκεντρώσεις ΡΑΗs και βαρέων μετάλλων/μεταλλοειδών στα PM10 του Βόλου και άλλων περιοχών της Ελλάδας.

Πίνακας 2.3.1. Μέσες συγκεντρώσεις BaPy και Σ13PAHs στα PM10 διαφόρων περιοχών της Ελλάδας (ng/m³)

Τοποθεσία, χρονική περίοδος (αριθμός δειγμάτων)	PM	Άθροισμα	ΣΡΑΗs	BaPy
Θεσσαλονίκη 1994-95 (n=45) ^α	<3 μm	Σ13PAH	50	2,9
Κοζάνη 2005-06 (n=52) ^α	PM _{2,5}	Σ13PAH	4,5	0,35
Κλείτος Κοζάνης 2005-06 (n=52) ^α	PM _{2,5}	Σ13PAH	5,3	0,35
Θεσσαλονίκη, Καμάρα 2006 (n=15) ^α	<3 μm	Σ12PAH	17	0,61
Θεσσαλονίκη 1994-95 (n=45) ^α	PM ₁₀	Σ13PAH	51	2,9
Θεσσαλονίκη, Πλ. Δημοκρατίας 1997-98 (n=54) ^α	PM ₁₀	Σ13PAH	31	1,9
Θεσσαλονίκη, Ελευθέριο-Κορδελιό 1997-98 (n=54) ^α	PM ₁₀	Σ13PAH	22	1,4
Θεσσαλονίκη, Μαρτίου 1997-98 (n=54) ^α	PM ₁₀	Σ13PAH	25	1,2
Κοζάνη 2005-06 (n=52) ^α	PM ₁₀	Σ13PAH	7,1	0,57
Κλείτος Κοζάνης 2005-06 (n=52) ^α	PM ₁₀	Σ13PAH	8,9	0,58
Αθήνα, Μαρούσι 2001-02 (n=52) ^α	PM ₁₀	Σ13PAH	2,8	0,16
Αθήνα, Αριστοτέλους 2001-02 (n=52) ^α	PM ₁₀	Σ13PAH	8,5	0,57
Αθήνα, Ελευσίνα 2001-02 (n=52) ^α	PM ₁₀	Σ13PAH	7,9	0,71
Αθήνα, Θρακομακεδόνες 2001-02 (n=52) ^α	PM ₁₀	Σ13PAH	0,65	0,04
Θεσσαλονίκη, Ι. Δραγούμη 2011-12 (n=20) ^α	PM ₁₀	Σ13PAH	12 (ψυχρή περίοδος) 4,0 (θερμή περίοδος)	0,86 (ψυχρή περίοδος) 0,12 (θερμή περίοδος)
Θεσσαλονίκη, Επταπύργιο 2011-12 (n=20) ^α	PM ₁₀	Σ13PAH	9,4 (ψυχρή περίοδος) 0,64 (θερμή περίοδος)	0,70 (ψυχρή περίοδος) 0,002 (θερμή περίοδος)
ΟΛΒ 2014 (n=46) ^β	PM ₁₀	Σ12PAH	3,34 (μέση τιμή έτους)	0,28 (μέση τιμή έτους)
ΟΛΒ 2015 (n=47) ^β	PM ₁₀	Σ12PAH	6,46 (μέση τιμή έτους)	0,60 (μέση τιμή έτους)
Βόλος 2015 ^γ	PM ₁₀	-	0,26 (7/5-19/8/15)	4,7 (1-6/1/2015)

^α Μετρήσεις του Εργαστηρίου Ελέγχου Ρύπανσης Περιβάλλοντος, ΑΠΘ

^β Manoli et al., 2017 (submitted)

^γ Μετρήσεις ΥΠΕΚΑ

Πίνακας 2.3.2. Μέσες συγκεντρώσεις PM10 και μετάλλων/μεταλλοειδών στο πολεοδομικό συγκρότημα του Βόλου (ng/m³)

Παράμετρος	Κέντρο Βόλου ^{α,β} Ιούν.-Ιούλ. 2007 & Ιαν.-Φεβ. 2008	Ν. Ιωνία Βόλου ^{α,β} Ιούν.-Ιούλ. 2007 & Ιαν.-Φεβ. 2008	Ν. Δημητριάδα Βόλου ^{α,β} Ιούν.-Ιούλ. 2007 & Ιαν.-Φεβ. 2008	Παλαιά Βόλου ^{α,γ} Ιούν.-Ιούλ. 2008
PM10	69	51	69	35
As	15	10	9,2	10
Ni	11	11	9,8	8,0
Cd	10	15	11	11
Cr	20	18	18	13
Mn	53	46	41	40
Fe	1579	1149	1007	1012
Zn	403	290	193	192
Pb	74	62	46	47

^α Ολικές συγκεντρώσεις όπως προσδιορίσθηκαν με ED-XRF

^β Πρόγραμμα «Προσδιορισμός της συμβολής πηγών στην ατμοσφαιρική ρύπανση του Βόλου και σχεδιασμός ιεραρχημένης περιβαλλοντικής πολιτικής για την αναβάθμιση της ποιότητας της ατμόσφαιρας», Τεχνική Έκθεση N.A.M., 2008.

^γ Πρόγραμμα «Προσδιορισμός της συμβολής του λιμανιού στην ατμοσφαιρική ρύπανση του Δήμου Βόλου (συνοικία Παλαιών) από αιωρούμενα σωματίδια (PM10)», Τεχνική Έκθεση N.A.M., 2008, Τεχνική Έκθεση Δήμος Βόλου, 2010

Πίνακας 2.3.3. Μέσες συγκεντρώσεις PM10 και μετάλλων/μεταλλοειδών της Οδηγίας 2004/17/EK σε αστικά κέντρα της Ελλάδας
(Πρόγραμμα LIFE09 “ACCEPT-AIR”)

Παράμετρος	Αθήνα, Αγ. Παρασκευή		Αθήνα, Νέα Σμύρνη		Θεσσαλονίκη, Εγνατία		Θεσσαλονίκη, Επταπύργιο		Βόλος, Πανεπιστήμιο		
	Καλοκαίρι 2011	Χειμώνας 2012	Καλοκαίρι 2011	Χειμώνας 2012	Καλοκαίρι 2011	Χειμώνας 2012	Καλοκαίρι 2011	Χειμώνας 2012	Καλοκαίρι 2011	Χειμώνας 2012	
PM10	µg/m ³	22	23	21	44	48	53	28	37	28	76
As ^a	ng/m ³	19,3	2,8	2,2	0,5	7,3	14,5	2,1	8,1	1,7 ^b	8,3 ^b
Ni ^a	ng/m ³	6,5	4,3	5,5	9,1	9,4	10,6	5,8	6,3	7,6	9,2
Cd ^b	ng/m ³	0,3	0,1	0,9	0,4	1,2	0,4	0,9	0,2	0,1	0,3

^a Ολικές συγκεντρώσεις όπως προσδιορίσθηκαν με ED-XRF

^b Συγκεντρώσεις όπως προσδιορίσθηκαν με GF-AAS σε διαλυτοποιημένο φίλτρο

Πίνακας 2.3.4. Μέσες συγκεντρώσεις PM10 και μετάλλων/μεταλλοειδών της Οδηγίας 2004/17/ΕΚ στο πολεοδομικό συγκρότημα του Βόλου (ng/m^3) ^α

Παράμετρος		12/11-31/12/14 (n=22)	1/1-15-19/8/15 (n=29)
PM10	$\mu\text{g}/\text{m}^3$	43	38
As	ng/m^3	1,10	0,31
Ni	ng/m^3	2,46	2,92
Cd	ng/m^3	0,34	0,26

^α Μετρήσεις ΥΠΕΚΑ. Συγκεντρώσεις μετάλλων/μεταλλοειδών όπως προσδιορίσθηκαν με ICP-MS σε διαλυτοποιημένο φίλτρο

Πίνακας 2.3.5. Μέσες συγκεντρώσεις PM10 και μετάλλων/μεταλλοειδών στο Πανεπιστήμιο Θεσσαλίας την περίοδο 22.05.2014–11.06.2014 (ng/m^3) (Emmanouil et al., 2017)

Παράμετρος	Μέση τιμή $\pm \text{SD}$	Min-Max
As ^α	1,9 \pm 1,1	<DL-2,7
Cd ^α	1,3 \pm 1,3	<DL-5,8
Ni ^β	3,0 \pm 1,0	1,4-5,3
Cr ^β	3,3 \pm 2,4	<DL-7,7
Pb ^β	37 \pm 45	6-213
Mn ^β	33 \pm 19	9-87
Zn ^β	157 \pm 255	8-1194
Fe ^β	895 \pm 430	347-2171

^α ET-AAS, ^β XRF

Βιβλιογραφία

- Argyropoulos, G., Samara, C., 2008. Source apportionment in Volos and planning of environmental policy for air quality improvement. Technical Report. Aristotle University of Thessaloniki (in Greek).
- Argyropoulos G., C. Samara C., Diapouli, E. Eleftheriadis K., Papaoikonomou K., Kungolos A., 2017. Source apportionment of PM10 and PM2.5 in major urban Greek agglomerations using a hybrid source-receptor modeling process. *The Science of the Total Environment* (accepted).
- Bairachtari K., Saraga D., Moysiadi A., Vasilakos CH. and Maggos T., PAHs concentration levels in the ambient air of a suburban area in Athens and in a rural area near a timber processing plant. Proceedings of the 14th International Conference on Environmental Science and Technology, Rhodes, Greece, 3-5 September 2015.
- Diapouli E., Grigoratos Th., Proias G., Vasilatou V., Maggos Th., Samara C., A. Kungolos, Eleftheriadis K. PM chemical composition and sources in the greater area of Volos during the LIFE+ACCEPT-AIR Project (submitted).
- Emmanouil C., Drositi E., Vasilatou V., Diapouli E., Krikonis K., Eleftheriadis K., Kungolos A., 2017. Study on particulate matter air pollution, source origin, and human health risk based of PM10 metal content in Volos City, Greece. *Toxicological & Environmental Chemistry*: 1-19. doi:10.1080/02772248.2016.1242005.
- Manoli E., Kouras A., Samara C., 2011. Polycyclic aromatic hydrocarbons in the Greek atmospheric environment, 16th International Symposium on Environmental Pollution and its Impact on Life in the Mediterranean Region, 24-27 Sept 2011, Ioannina, Greece.
- Manoli E., Kouras A., Karagkiozidou O., Argyropoulos G., Voutsas D., Samara C., 2016. Polycyclic aromatic hydrocarbons (PAHs) at traffic and urban background sites of northern Greece: source apportionment of ambient PAH levels and PAH-induced lung cancer risk. *Environ Sci Pollut Res* 23(4):3556-68.
- Manoli E., Chelioti A., Kouras A., Voutsas D., Samara C., Kampanos H. Concentrations of gaseous and particulate pollutants in the port of Volos, Greece. CEMEPE & SECOTOX 2015, Mykonos island, June 14-18 2015.
- Manoli E., Chelioti A., Karageorgou K., Kouras A., Voutsas D., Samara C., Kampanos H., 2017. Polycyclic aromatic hydrocarbons and trace elements bounded to airborne PM10 in the harbor of Volos, Greece: Implications for the impact of harbor activities (submitted).
- Moustris K.P., Proias G.T., Larissi I.K., Nastas P.T., Koukouletsos K.V., Palitsos A.G., 2015. Health impacts due to particulate air pollution in Volos City, Greece. *Journal of Environmental Science and Health, Part A*. VOL. 0, No. 0, 1-6 (<http://dx.doi.org/10.1080/10934529.2015.1079099>)

- Papaioannou A.B., Viras L.G, Nastos P.T., Paliatsos A.G., 2010. Temporal evolution of sulfur dioxide and nitrogen oxides in the city of Volos, Greece. Environmental Monitoring and Assessment 161, 485-494.
- Proias G., Grigoratos T., Diapouli E., Vratolis S., Vasilatou V., Saraga D., Maggos Th., Samara C., Kungolos A., Kipouros S., Eleftheriadis K. Chemical composition and sources of PM10 and PM2.5 in the greater area of Volos during the LIFE+ACEPT-AIR Project. Book of Abstracts of the 4th International Conference on Environmental Management, Engineering, Planning and Economics (CEMEPE) and SECOTOX Conference ISBN: 978-960-6865-67-1, Mykonos island, Greece , June 24-28, 2013.
- Proias G., Moustris K., Larissi I., Nastos P., Paliatsos A. Temporal evolution of PM10 concentrations during 2001- 2013 in the city of Volos, Greece MESAEP 2015, Crete, September 26 - 30 2015.
- Proias G.T., Moustris K.P., Larissi I.K., Nastos P.T. and Paliatsos A.G., 2012. AMBIENT PM10 CONCENTRATIONS AND THE IMPACT OF WIND AT AN URBAN SITE IN CENTRAL GREECE. Fresenius Environmental Bulletin 21(7a), 1935 – 1941 .
- Saffari A., Daher N., Samara C., Voutsas D., Kouras A., Manoli E., Karagkiozidou O., Vlachokostas Ch., Moussiopoulos N., Shafer M.M., Schauer J.J., Sioutas C., 2013. Increased Biomass Burning Due to the Economic Crisis in Greece and Its Adverse Impact on Wintertime Air Quality in Thessaloniki, Environ. Sci. Technol. 47, 13313–13320.
- Tolis I.E., Saraga E.D., Filiou F.K., Tziavos I.N., Tsiaousis P.Ch., Dinas A. Bartzis G.J., 2014. One-year intensive characterization on PM2.5 nearby port area of Thessaloniki, Greece. Environ Sci Pollut Res, DOI 10.1007/s11356-014-3883-7.
- Tzoumaka N.P., Kelessis G.A., Petrakakis J.M., Samara C., Papagiannopoulos M.N. Zoumakis M.N., Tzourelis G., 2008. Experimental measurements of C2-C5 and C6-C10 in urban area of Thessaloniki, Greece. Fresenius Environmental Bulletin, 17 (10A), 1594-1600.
- Voutsas D., Samara C., Kouimtzis Th., Ochsenkuhn K., 2002. Elemental composition of airborne particulate matter in the multi-impacted urban area of Thessaloniki, Greece. Atmospheric Environment, 36, 4453-4462.
- Wang X., Chancellor G., Evenstad J., Farnsworth E.J., Hase A., Olson M. G., Sreenath A., and Agarwal K. J., 2009. A Novel Optical Instrument for Estimating Size Segregated Aerosol Mass Concentration in Real Time. Aerosol Science and Technology, 43, 939–950.
- Γρηγοράτος Θ., Αργυρόπουλος Γ., Νικολάου Κ., Κουμπαρέλος Γ., Σαμαρά Κ., 2012. Αιωρούμενα Σωματίδια PM10 στην ευρύτερη περιοχή του Βόλου: Επίπεδα

συγκεντρώσεων - Χημική σύσταση - Πηγές, 1ο Περιβαλλοντικό Συνέδριο Θεσσαλίας, 8-10 Σεπτεμβρίου, Σκιάθος, Πρακτικά σελ. 8.

Μανώλη Ε., Χελιώτη Α., Κούρας Α., Βουτσά Δ., Σαμαρά Κ., Καμπανός Η. Συγκεντρώσεις αιωρούμενων σωματιδίων PM10 και γονοτοξικών συστατικών στο λιμάνι του Βόλου. 12ο Συνέδριο Χημείας Ελλάδας-Κύπρου, Θεσσαλονίκη

Πρώιας Γ., Ελευθεριάδης Κ., Διαπούλη Ε., Βράτολης Σ., Βασιλάτου Β., Κούγκολος Α., Κηπουρός Σ., Παλιατσός Α.Γ. ΑΝΑΛΥΣΗ ΣΥΓΚΕΝΤΡΩΣΕΩΝ ΑΙΩΡΟΥΜΕΝΩΝ ΣΩΜΑΤΙΔΙΩΝ PM10 ΚΑΙ PM2.5 ΣΤΗΝ ΠΕΡΙΟΧΗ ΤΟΥ ΒΟΛΟΥ ΚΑΤΑ ΤΗ ΘΕΡΙΝΗ ΚΑΙ ΧΕΙΜΕΡΙΝΗ ΠΕΡΙΟΔΟ 2011 – 2012 ΣΤΟ ΠΛΑΙΣΙΟ ΤΟΥ ΠΡΟΓΡΑΜΜΑΤΟΣ LIFE + ACEPT-AIR. Βιβλίο Περιλήψεων 1ου Περιβαλλοντικού Συνεδρίου Θεσσαλίας Σκιάθος, 8-10 Σεπτεμβρίου 2012, ISBN 978-960-6865-49-7.